



# Complexos de Rutênio(II) e Cobre(II) com ligantes Aciltioureia e 2,2'Bipiridina: Aspectos Químicos, Estruturais e Biológicos

Amanda S. Ferreira (PG)\*1, Katia M. de Oliveira (PQ)2, Laser A. M. Oliveira (PQ)1, Rodrigo S. Corrêa (PQ)1

<sup>1</sup> Universidade Federal de Ouro Preto - UFOP, Ouro Preto, MG, Brasil. <sup>2</sup> Universidade de Brasília - UNB, Brasília, DF, Brasil. amanda.sf@aluno.ufop.edu.br\*

## RESUMO

Neste estudo, foram sintetizados e caracterizados dois complexos metálicos contendo o ligante aciltioureia *N*,*N*-dibenzil-*N*'-benzoiltioureia e 2,2'-bipiridina: trans-[Ru(PPh<sub>3</sub>)<sub>2</sub>(Bz<sub>2</sub>BnTh)(bipy)]PF<sub>6</sub> e [Cu(bipy)(Bz<sub>2</sub>BnTh)(NO<sub>3</sub>)]. A caracterização estrutural foi realizada por técnicas espectroscópicas e difração de raios X, confirmando a coordenação bidentada do ligante por meio dos átomos de oxigênio e enxofre. O complexo de rutênio apresentou geometria octaédrica levemente distorcida, enquanto o complexo de cobre exibiu geometria piramidal de base quadrada. Estudos de interação com DNA e albumina sérica bovina indicaram mecanismos de ligação eletrostáticos e não intercalantes, reforçando o interesse por esses sistemas em investigações bioinorgânicas. A atividade citotóxica será avaliada em etapas posteriores, com o objetivo de aprofundar a compreensão da relação entre estrutura e atividade biológica.

Palavras-chave: Química bioinorgânica; complexos metálicos; aciltioureia; interação biomolecular

# Introdução

O câncer é uma das principais causas de mortalidade no mundo, o que tem incentivado a busca por terapias mais eficazes e seletivas (1). A introdução da cisplatina como agente antitumoral evidenciou o potencial terapêutico dos complexos metálicos, impulsionando o desenvolvimento da Química Inorgânica Medicinal (2). No entanto, limitações como toxicidade e resistência celular têm motivado a investigação de outros metais de coordenação como o cobre (Cu) e o rutênio (Ru), cujos complexos apresentam propriedades químicas e estruturais que podem influenciar sua reatividade em sistemas biológicos (3–5). Nesse contexto, este trabalho propõe a síntese e caracterização de complexos de Cu(II) e Ru(II) contendo o ligante diimínico 2,2'-bipiridina (bipy) e o derivado de aciltioureia N,N-dibenzil-N'-benzoiltioureia (Bz<sub>2</sub>BnTh), cuja versatilidade estrutural e capacidade de coordenação bidentada por átomos de oxigênio e enxofre podem influenciar a estabilidade e reatividade dos complexos. O objetivo é realizar a caracterização estrutural e as interações dos complexos com biomoléculas, como albumina sérica bovina (BSA) e DNA, a fim de compreender seus mecanismos de ligação e propriedades bioquímicas. A avaliação da atividade citotóxica é considerada como perspectiva para estudos futuros.

# **Experimental**

Síntese dos Complexos

Foram sintetizados dois complexos metálicos: um complexo de rutênio(II), trans-[Ru(PPh<sub>3</sub>)<sub>2</sub>(bipy)(Bz<sub>2</sub>BnTh)]PF<sub>6</sub> (complexo 1) e um complexo de cobre(II), [Cu(bipy)(Bz<sub>2</sub>BnTh)(NO<sub>3</sub>)] (complexo 2). O complexo 1 foi obtido pela reação do precursor cis-[RuCl<sub>2</sub>(PPh<sub>3</sub>)<sub>2</sub>(bipy)] com o ligante Bz<sub>2</sub>BnTh, na presença de trietilamina (NEt<sub>3</sub>) e KPF<sub>6</sub>, em mistura de diclorometano e metanol (2:1 v/v), sob refluxo por 24 horas. O sólido alaranjado foi isolado por filtração, lavado e seco, com rendimento de 65%.

O complexo 2 foi preparado por reação entre Cu(NO<sub>3</sub>)<sub>2</sub>·3H<sub>2</sub>O, bipy

e Bz<sub>2</sub>BnTh em metanol, sob agitação à temperatura ambiente por 1 hora. Os cristais verde-escuros foram obtidos por evaporação lenta, com rendimento de 80%.

#### Caracterização e Ensaios Biológicos

Os complexos foram caracterizados por diversas técnicas, incluindo espectroscopia UV-Vis, FTIR, RMN (¹H, ¹³C e ³¹P), análise elementar, condutividade molar e difração de raios X por monocristal, permitindo a determinação da geometria de coordenação e a identificação dos modos de ligação dos ligantes. Além disso, foram realizados estudos de interação com biomoléculas por meio de espectroscopia de absorção e fluorescência, visando compreender os mecanismos de ligação dos complexos com DNA e BSA.

## Resultados e Discussão

A caracterização do complexo 1 confirmou uma estrutura octaédrica levemente distorcida, com coordenação bidentada do ligante aciltioureia por meio dos átomos de oxigênio e enxofre. O espectro de IV apresentou a banda v(C=O) em 1585 cm<sup>-1</sup> e v(C=S) em 1267 cm<sup>-1</sup>, com deslocamentos em relação ao ligante livre, indicando a participação desses grupos na coordenação. As bandas em 521, 490, 405 e 360 cm<sup>-1</sup> foram atribuídas às ligações Ru-P, Ru-S, Ru-N e Ru-O, respectivamente. A análise de RMN (<sup>1</sup>H e <sup>13</sup>C) corroborou a formação do complexo, com sinais característicos dos grupos aromáticos e dos grupos CH2 benzílicos. O deslocamento dos sinais de C=O e C=S para 173,02 e 176,55 ppm, respectivamente, no RMN de <sup>13</sup>C, confirmou a deslocalização eletrônica decorrente da coordenação. O sinal único observado no espectro de RMN de  $^{31}P\{^{1}H\}$ , em  $\delta = 22,07$  ppm, indicou a equivalência dos ligantes PPh<sub>3</sub> em posição trans. A estrutura cristalina obtida por difração de raios X (FIG.1a) revelou um arranjo octaédrico com o ligante Bz<sub>2</sub>BnTh coordenado de forma bidentada (O,S). As distâncias de ligação Ru-O (2,078 Å) e Ru-S (2,355 Å), bem como os ângulos de mordida dos quelantes, ( $\angle$ N-Ru-N = 78,06° e  $\angle$ O-Ru-S =



88,73°), confirmaram a geometria esperada. A análise eletrônica por UV-Vis mostrou uma banda de transferência de carga metal-ligante (MLCT) em 483 nm, característica de complexos Ru(II) com bipy. Nos estudos de interação com BSA, o complexo demonstrou afinidade significativa (K\_b = 0,81 × 10<sup>4</sup> M<sup>-1</sup>), com deslocamento no espectro de fluorescência e supressão do sinal de triptofano, sugerindo um mecanismo de interação do tipo estático. A termodinâmica da interação indicou que o processo foi espontâneo (ΔG° = -28,45 kJ/mol) e predominantemente eletrostático (ΔH° = -1,25 kJ/mol; ΔS° = +87,73 J·mol<sup>-1</sup>·K<sup>-1</sup>). Em relação ao DNA, o complexo apresentou uma constante de ligação moderada (K\_b = 0,95 × 10<sup>4</sup> M<sup>-1</sup>) e hipocromismo discreto (~1%), sugerindo interação superficial, provavelmente eletrostática. A viscosidade da solução de DNA permaneceu inalterada após adição do complexo, reforçando a ausência de intercalamento clássico.

O complexo 2 foi obtido com rendimento de 80% e caracterizado por diversas técnicas. O IV demonstrou o desaparecimento da banda  $\nu$ (N–H) (3307 cm<sup>-1</sup>) e deslocamentos das bandas  $\nu$ (C=O) (1692  $\rightarrow$ 1542 cm<sup>-1</sup>) e v(C=S) (1189  $\rightarrow$  1029 cm<sup>-1</sup>), sugerindo coordenação via átomos de oxigênio e enxofre. A análise elementar apresentou valores compatíveis com os teóricos, e a condutividade molar (88,2  $\Omega^{-1} \cdot \text{cm}^2 \cdot \text{mol}^{-1}$ ) indicou um eletrólito 1:1. A espectrometria de massas mostrou o pico [M-NO<sub>3</sub>]<sup>+</sup> em m/z 578,1268, consistente com o valor teórico. A estrutura do complexo, determinada por difração de raios X, é piramidal de base quadrada, com o ligante Bz<sub>2</sub>BnTh atuando como bidentado (FIG. 1b). O complexo apresentou afinidade moderada com DNA (K b =  $7.30 \times 10^3 \,\mathrm{M}^{-1}$ ), indicando interação superficial, provavelmente mediada por forças eletrostáticas. Em relação à albumina sérica bovina, a interação foi mais fraca (K b =  $1.73 \times 10^2 \text{ M}^{-1}$ ), mas ainda considerada espontânea, como indicado pelo valor negativo da energia livre de Gibbs ( $\Delta G^{\circ} = -12,78 \text{ kJ} \cdot \text{mol}^{-1}$ ). Esse resultado sugere um processo termodinamicamente favorável, embora menos intenso do que o observado para o complexo de rutênio.

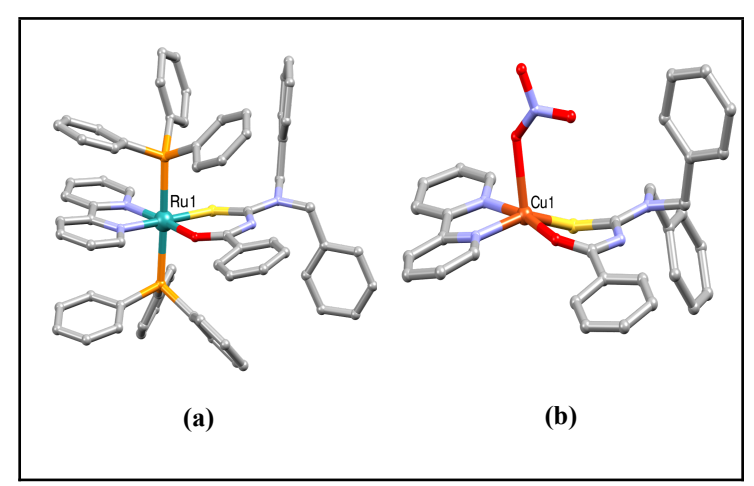


Figura 1. Estrutura cristalográfica dos complexos 1 (a) e 2 (b)



## Conclusões

A síntese e caracterização dos complexos de rutênio(II) e cobre(II) contendo o ligante Bz<sub>2</sub>BnTh confirmaram as estruturas propostas e revelaram modos de coordenação semelhantes, com geometria octaédrica no complexo de rutênio e piramidal de base quadrada no de cobre. Os estudos de interação com biomoléculas mostraram que ambos os complexos se ligam à albumina sérica bovina de forma espontânea, por meio de interações eletrostáticas, e apresentam interação moderada com o DNA, sem evidências de intercalamento. Esses resultados contribuem para a compreensão do comportamento desses sistemas em meio biológico e indicam potencial para aplicações futuras. Avaliações de atividade citotóxica estão previstas como próximos passos da investigação.

# Agradecimentos

Agradecemos à Universidade Federal de Ouro Preto (UFOP) pelo apoio institucional, à Coordenação de Aperfeiçoamento de Pessoal de Nível Superior (CAPES) pelo suporte à pós-graduação, ao Conselho Nacional de Desenvolvimento Científico e Tecnológico (CNPq) pela concessão de bolsa e fomento à pesquisa, e à Fundação de Amparo à Pesquisa do Estado de Minas Gerais (FAPEMIG) pelo apoio financeiro.

# Referências

- 1. World Health Organization (WHO), Global cancer burden growing, amidst mounting need for services, WHO/IARC, Lyon, 2024.
- 2. N. Alassaf; H. Attia, Front. *Pharmacol*. 2023, 14, 1103062. https://doi.org/10.3389/fphar.2023.1103062
- 3. A. P. S. Fontes; E. T. César; H. Beraldo, *Caderno Temático Quím. Nova Esc.* 2005, 6, 13–18.
- 4. G. Housman; S. Byler; S. Heerboth; K. Lapinska; N. Longacre; J. Snyder; S. Sarkar, Cancers 2014, 6, 1679–1792.
- Y. Garrosa-Miró; J. F. Lopes-López; M. Martín-Bernadó; J. M. García; E. Colacio; M. C. Gimeno, *Dalton Trans*. 2025, 54, 7506–7521. https://doi.org/10.1039/d4dt03377a